

E2. BADANIE OBWODÓW PRĄDU PRZEMIENNEGO

tekst opracowały: Jadwiga Szydłowska i Bożena Janowska-Dmoch

Badać będziemy charakterystyki obwodów zawierających różne układy elementów takich jak: opornik, cewka i kondensator, połączonych ze sobą szeregowo a zasilanych napięciem zmiennym sinusoidalnie. W obwodach zasilanych zmienną sinusoidalnie siłą elektromotoryczną zawierających tylko oporniki omowe natężenie prądu jest, zgodnie z prawem Ohma, wprost proporcjonalne do przyłożonego napięcia. Obecność w obwodzie dodatkowo oporu pojemnościowego, lub indukcyjnego, lub obu na raz powoduje, że prąd jest przesunięty w fazie względem przyłożonego napięcia, a jego amplituda zmienia się wraz ze zmianą częstotliwości.

Cel

Celem ćwiczenia jest:

- wyznaczenie przesunięć fazowych między prądem i napięciem w obwodach RL, RC i RLC zasilanych napięciem zmiennym sinusoidalnie w funkcji częstotliwości;
- zbadanie własności filtrujących obwodów RL i RC zasilanych napięciem zmiennym sinusoidalnie.

Wymagania

Prąd elektryczny zmienny sinusoidalnie: siła elektromotoryczna, potencjał, napięcie, natężenie, opór omowy, indukcyjny i pojemnościowy, zawada. Prawo Ohma i prawa Kirchhoffa. Prawo indukcji Faradaya, SEM indukcji. Szeregowe obwody RL, RC i RLC zasilane napięciem zmiennym sinusoidalnie. Przesunięcia fazowe w obwodach RL, RC i RLC. Zjawisko rezonansu. Filtry RL i RC.

Literatura

D. Halliday, R. Resnick, Fizyka, tom II, PWN

E.M. Purcell, Elektryczność i magnetyzm, Kurs berkeleyjski tom II, PWN.

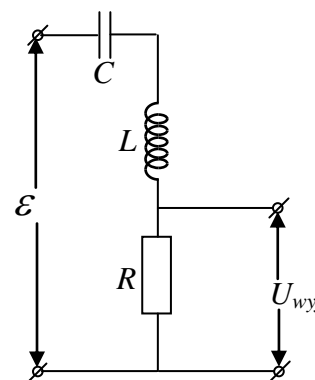
D. Halliday, R. Resnick, J. Walker, Podstawy fizyki, tom III, PWN

K. Zboiński, Laboratorium z fizyki, Liber.

Opis układu – część teoretyczna

Obwód RLC zasilany napięciem zmiennym sinusoidalnie.

Na Rysunku 1 przedstawiono schemat obwodu RLC, gdzie oznaczenia: R – opornik (opornik dekadowy), L – indukcyjność cewki, C – pojemność kondensatora, \mathcal{E} – zmienne sinusoidalnie napięcie zasilania, U_{wyj} – napięcie podawane na oscyloskop. Zgodnie z II prawem Kirchhoffa napięcie podane na cały układ rozkłada się na poszczególne elementy tak, że:



Rysunek 1

$$U_R + U_L + U_C = \mathcal{E}$$

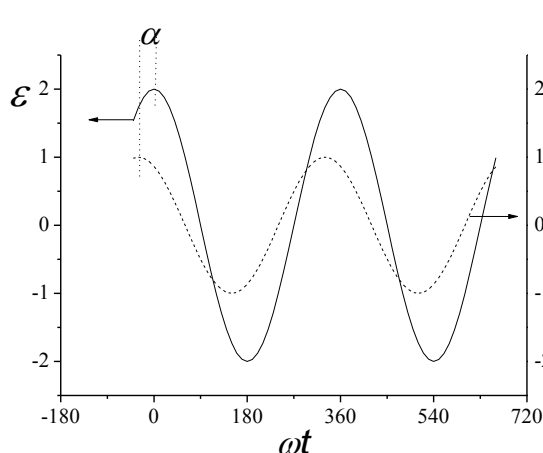
$$U_R = IR, U_L = L \frac{dI}{dt}, U_C = \frac{Q}{C} \quad (1)$$

gdzie: U_R , U_L i U_C są napięciami na oporniku, cewce i kondensatorze, I – natężeniem prądu w obwodzie, Q – ładunkiem zgromadzonym na kondensatorze. Podstawiając odpowiednie spadki napięć otrzymuje się:

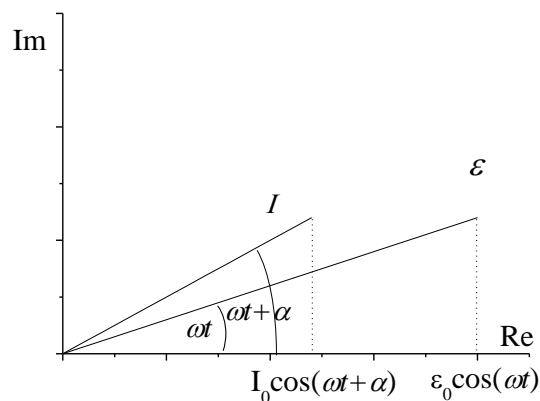
$$RI + L \frac{dI}{dt} + \frac{Q}{C} = \mathcal{E} \quad (2)$$

Napięcie zasilania ma postać sinusoidalną i wyraża się wzorem $\mathcal{E} = \mathcal{E}_0 \cos \omega t$, (Rysunek 2), co można (dla ułatwienia obliczeń) zapisać jako liczbę zespoloną (Rysunek 3):

$$\mathcal{E} = \mathcal{E}_0 e^{i\omega t} = \mathcal{E}_0 (\cos \omega t + i \sin \omega t)$$



Rysunek 2. Przedstawienie zależności napięcia \mathcal{E} oraz prądu I jako funkcji sinusoidalnej. Jeśli $\alpha > 0$, prąd wyprzedza napięcie.



Rysunek 3. Przedstawienie zależności napięcia \mathcal{E} oraz prądu I jako funkcji zespolonej.

Przedstawia się ją jako punkt na płaszczyźnie zespolonej, Re-Im i jej część rzeczywista jest wartością (w tym przypadku) napięcia (Rysunek 3)

W równaniu (2) poszukujemy wartości prądu I . Zakładamy, że prąd zmienia się z tą samą częstotliwością ω co napięcie zasilania, ale jest przesunięty w fazie o kąt α , a więc $I = I_0 \cos(\omega t + \alpha)$. Można go również zapisać jako liczbę zespoloną:

$$I = I_0 e^{i(\omega t + \alpha)} = I_0 (\cos(\omega t + \alpha) + i \sin(\omega t + \alpha)) = I_0 e^{i\alpha} e^{i\omega t} = \hat{I}_0 e^{i\omega t}$$

gdzie $\hat{I}_0 = I_0 e^{i\alpha}$

Dla założonej wartości prądu I otrzymuje się: $\frac{dI}{dt} = \hat{I}_0 i e^{i\omega t}$ oraz

$$Q = \int I dt = \frac{\hat{I}_0 e^{i\omega t}}{i\omega} = -\frac{i}{\omega} \hat{I}_0 e^{i\omega t}. \text{ Podstawienie powyższego do wzoru (2) daje:}$$

$$R\hat{I}_0 e^{i\alpha} + Li\omega\hat{I}_0 e^{i\alpha} - \frac{i}{\omega C}\hat{I}_0 e^{i\alpha} = \mathcal{E}_0 e^{i\alpha}$$

Dzieląc stronami przez $e^{i\alpha}$ otrzymujemy:

$$\left(R + i\left(L\omega - \frac{1}{\omega C} \right) \right) \hat{I}_0 = \mathcal{E}_0 \quad (3)$$

Wyrażeni to ma strukturę podobną do prawa Ohma, gdy zapiszemy:

$$\begin{aligned} \hat{Z}\hat{I}_0 &= \mathcal{E}_0 \quad \text{i gdy} \\ \hat{Z} &= R + i\left(L\omega - \frac{1}{\omega C} \right) = \sqrt{R^2 + \left(L\omega - \frac{1}{\omega C} \right)^2} e^{i\beta} = |\hat{Z}| e^{i\beta} \\ |\hat{Z}| &= \sqrt{R^2 + \left(L\omega - \frac{1}{\omega C} \right)^2} \quad \text{oraz} \quad \text{tg}\beta = \frac{\text{Im}\hat{Z}}{\text{Re}\hat{Z}} = \frac{L\omega - \frac{1}{\omega C}}{R} \end{aligned} \quad (4)$$

\hat{Z} nazywa się zawadą zespoloną i jest ona sumą części rzeczywistej tj. oporu omowego R i części urojonej będącej oporem urojonym cewki $X_L = i\omega L$ i kondensatora $X_C = -i/\omega C$.
Równanie (3) można przepisać jako:

$$I_0 e^{i\alpha} |\hat{Z}| e^{i\beta} = \mathcal{E}_0$$

Ponieważ po prawej stronie mamy tylko liczbę rzeczywistą, lewa strona musi też być

rzeczywista, więc $\beta = -\alpha$, czyli: $\text{tg}\alpha = \frac{\frac{1}{\omega C} - L\omega}{R}$, a amplituda prądu I_0 (bez części fazowej) wynosi:

$$I_0 = \frac{\mathcal{E}_0}{|\hat{Z}|} = \frac{\mathcal{E}_0}{\sqrt{R^2 + \left(L\omega - \frac{1}{\omega C} \right)^2}} \quad \text{oraz} \quad I = \frac{\mathcal{E}_0 e^{i\alpha} e^{i\omega t}}{\sqrt{R^2 + \left(L\omega - \frac{1}{\omega C} \right)^2}} \quad \text{lub} \quad I = \frac{\mathcal{E}_0 \cos(\omega t + \alpha)}{\sqrt{R^2 + \left(L\omega - \frac{1}{\omega C} \right)^2}} \quad (5)$$

Prąd I w obwodzie RLC jest proporcjonalny do napięcia U_{wyj} na oporze R , które jest podane na jeden z kanałów oscyloskopu.

$$U_{wyj} = RI = \frac{R\mathcal{E}_0 \cos(\omega t + \alpha)}{\sqrt{R^2 + \left(L\omega - \frac{1}{\omega C} \right)^2}} = U_{wyj0} \cos(\omega t + \alpha) \quad (6)$$

Przebieg tego napięcia (a więc i prądu I) jest wykreślony na ekranie oscyloskopu w postaci sinusoidy podobnej do tej z Rysunku 1 z jednoczesnym wykreśleniem sinusoidalnego napięcia zasilającego \mathcal{E} . Oba wykresy są przesunięte względem siebie o kąt α (Rysunek 1) i

możemy zmierzyć jego wielkość. Jeżeli $1/\omega C > \omega L$, prąd wyprzedza napięcie. Stosunek amplitudy napięcia mierzonego do amplitudy napięcia zasilającego wynosi

$$\frac{U_{wyj0}}{\mathcal{E}_0} = \frac{R}{\sqrt{R^2 + \left(\omega L - \frac{1}{\omega C}\right)^2}} \quad (7)$$

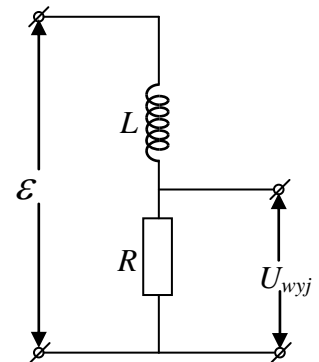
Maksimum zależności (7) osiąga się, gdy mianownik staje się minimalny, a więc gdy częstość $\omega^2 = 1/LC$. Jest to punkt rezonansowy. Wówczas zawada jest minimalna, $\hat{Z} = R$, brak jest przesunięcia między prądem i napięciem, $\alpha = 0$, oraz amplituda prądu jest maksymalna, $I_0 = \frac{\mathcal{E}_0}{R}$

Obwód RL zasilany napięciem zmiennym sinusoidalnie.

Na rysunku obok przedstawiono schemat obwodu RL stosowanego do pomiarów przesunięć fazowych. Oznaczenia na schemacie: R – opór (opornik dekadowy), L – indukcyjność cewki, \mathcal{E} – zmienne sinusoidalnie napięcie zasilania, U_{wyj} – napięcie podawane na oscyloskop.

W tym przypadku prąd I i kąt przesunięcia ($\text{tg}\alpha$) oblicza się ze wzoru (5) podstawiając $C \rightarrow \infty$, czyli

$$I = \frac{\mathcal{E}_0 \cos(\omega t + \alpha)}{\sqrt{R^2 + (L\omega)^2}}, \quad \text{tg}\alpha = \frac{-L\omega}{R} \quad (8)$$



Stosunek amplitudy napięcia mierzonego do amplitudy napięcia zasilającego oblicza się z zależności (6):

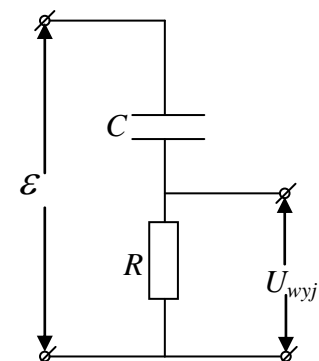
$$\frac{U_{wyj0}}{\mathcal{E}_0} = \frac{R}{\sqrt{R^2 + (\omega L)^2}} \quad (9)$$

Dla malejących częstości $\omega \rightarrow 0$, $\frac{U_{wyj0}}{\mathcal{E}_0} \rightarrow 1$. Przy dużych częstościach $\omega \rightarrow \infty$, $\frac{U_{wyj0}}{\mathcal{E}_0} \rightarrow 0$

Możemy bezpośrednio na ekranie oscyloskopu mierzyć wartości napięć i przesunięć fazowych między sygnałami wejściowym i wyjściowym.

Obwód RC zasilany napięciem zmiennym sinusoidalnie.

Na rysunku przedstawiono obok schemat obwodu RC stosowanego do pomiarów przesunięć fazowych. Oznaczenia na schemacie: R – opór (opornik dekadowy), C – pojemność (kondensator dekadowy), \mathcal{E} – zmienne sinusoidalnie napięcie zasilania, U_{wyj} – napięcie podawane na oscyloskop. W tym



przypadku prąd I i kąt przesunięcia ($\text{tg}\alpha$) oblicza się ze wzoru (5) podstawiając $L \rightarrow 0$, czyli

$$I = \frac{\mathcal{E}_0 \cos(\omega t + \alpha)}{\sqrt{R^2 + \left(\frac{1}{\omega C}\right)^2}}, \quad \text{tg}\alpha = \frac{1}{R\omega C} \quad (10)$$

Stosunek amplitudy napięcia mierzonego do amplitudy napięcia zasilającego oblicza się z zależności (6):

$$\frac{U_{\text{wyj}0}}{\mathcal{E}_0} = \frac{R}{\sqrt{R^2 + \left(\frac{1}{\omega C}\right)^2}} \quad (11)$$

Dla malejących częstości $\omega \rightarrow 0$, $\frac{U_{\text{wyj}0}}{\mathcal{E}_0} \rightarrow 0$. Przy dużych częstościach $\omega \rightarrow \infty$, $\frac{U_{\text{wyj}0}}{\mathcal{E}_0} \rightarrow 1$

Możemy bezpośrednio na ekranie oscyloskopu mierzyć wartości napięć i przesunięć fazowych między sygnałami wejściowym i wyjściowym.

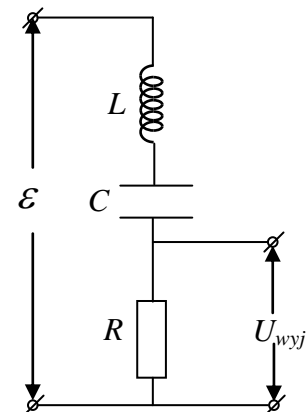
Obwód RLC zasilany napięciem zmiennym sinusoidalnie.

Na rysunku obok przedstawiono schemat obwodu RLC stosowanego do pomiarów przesunięć fazowych. Oznaczenia na schemacie: R – opór (opornik dekadowy), L - indukcyjność cewki, C – pojemność (kondensator dekadowy), \mathcal{E} – zmienne sinusoidalnie napięcie zasilania, U_{wyj} – napięcie podawane na oscyloskop.

Prąd I i kąt przesunięcia ($\text{tg}\alpha$) opisany jest wzorem (5):

$$I = \frac{U_0}{\sqrt{R^2 + \left(\omega L - \frac{1}{\omega C}\right)^2}} \cos(\omega t + \varphi) \quad (5)$$

gdzie przesunięcie fazowe jest : $\text{tg}\alpha = \frac{\frac{1}{\omega C} - \omega L}{R}$



Możemy bezpośrednio na ekranie oscyloskopu mierzyć wartości przesunięcia fazowego między sygnałami wejściowym (żółty) i wyjściowym (zielony).

Wykonanie ćwiczenia



Wyniki wszystkich pomiarów muszą być zapisane w sprawozdaniu, opatrzone odpowiednimi jednostkami i podpisane przez asystenta.

Układ pomiarowy.

Układ pomiarowy składa się z następujących przyrządów: generatora sygnału sinusoidalnego z regulacją częstotliwości, kondensatora dekadowego, opornika dekadowego, 2 cewek indukcyjnych, płytki montażowej oraz oscyloskopu cyfrowego DSO3062A. Napięcie z generatora jest podane na kanał 1 oscyloskopu i jednocześnie jest podane na płytkę montażową. Sygnał wyjściowy z płytki montażowej jest podany na kanał 2 oscyloskopu.

Obwód RL zasilany napięciem zmiennym sinusoidalnie.

Wyznaczanie przesunięć fazowych:

- a) Wybieramy jedną z dostępnych cewek. Na płytce montażowej łączymy obwód RL. Na oporniku dekadowym ustawiamy opór $R = 5 \text{ k}\Omega$.
- b) Po sprawdzeniu obwodu przez asystenta i włączeniu zasilania na ekranie oscyloskopu powinny być widoczne sygnały z generatora i opornika w postaci pełnych przebiegów sinusoidalnych (co najmniej jedna sinusoida). Zmniejszenie lub powiększenie sygnału regulujemy pokrętkami wzmocnienia obu kanałów, a szerokość wykresów pokrętkiem podstawy czasu. Z **Menu** oscyloskopu wybieramy funkcje potrzebne przy wykonywaniu pomiarów.
 1. *Pomiar częstotliwości ν* : Naciskamy przycisk **Measure**, z menu wybieramy source **CH1**, a następnie **Time1/3** i klawisz **Freq**. Częstotliwość sygnału wyświetla się na dole ekranu.
 2. *Przesunięcie fazowe – pomiar przesunięcia czasowego sygnałów ΔX* : Opóźnienie między sygnałami mierzyć będziemy automatycznie i ręcznie.
Pomiar automatyczny: naciskamy klawisz **Measure**, na ekranie pojawia się menu, naciskamy klawisz **Time** w pozycji **Time1/3**, menu zmienia się w **Time2/3**, po ponownym naciśnięciu menu zmienia się w **Time3/3** i wybieramy **Delay 1→2**. Na dole ekranu wyświetla się na różowo rezultat pomiaru opóźnienia ΔX jednego sygnału względem drugiego.
Pomiar ręczny: naciskamy klawisz **Cursors**, z nowego menu, wybieramy mod **Manual**, source **CH2**, type **Time**. Na ekranie pojawiają się dwie niebieskie, pionowe linie. Są to tzw. kursory. Wciśnięcie klawisza **CurA** pozwala zmieniać położenie jednej z linii przez obrót pokrętki  Ustawiamy kursor A w maksimum sygnału np. żółtego. Po wciśnięciu klawisza **CurB** obrót pokrętki  zmienia położenie drugiej linii, co pozwala ustawić kursor B w maksimum drugiego sygnału. W prawym górnym rogu ekranu oscyloskopu wyświetla się informacja o położeniu obu kursorów w skali czasu i o różnicy ich położenia ΔX . Przy pomiarze ręcznym musimy zwrócić uwagę czy sygnał wyjściowy (zielony) opóźnia się, a wtedy $\Delta X < 0$, czy wyprzedza sygnał wejściowy, a wtedy $\Delta X > 0$.
 3. Mierzmy opóźnienia między sygnałami dla częstotliwości 50 Hz, 100Hz, dalej co 100 Hz do 700 Hz, 1000Hz i 1500 Hz.

Propozycja zapisu wyników:

Typ obwodu:.....

$R = \dots\dots\dots$, $\Delta R = \dots\dots\dots$ Cewka: np. "lewa"

Częstotliwość [jednostka] $\Delta \nu = \dots\dots$	Autom. ΔX [jednostka] $\Delta(\Delta X) = \dots\dots$	Ręcznie ΔX [jednostka] $\Delta(\Delta X) = \dots\dots$

gdzie Δv i $\Delta(\Delta X)$ są niepewnościami pomiarowymi wynikającymi z rozrzutu wyświetlanych wyników.

Własności filtrujące obwodu RL

- Wartość oporu na oporniku dekadowym zmieniamy na **500Ω**.
- Z menu **Measure** wybieramy **Clear** i ponownie source **CH1** i w pozycji **Time** przyciskamy klawisz **Freq.**, a w pozycji **Voltage** – wybieramy **Vrms**. Na dole ekranu wyświetli się częstotliwość v i wartość skuteczna napięcia sygnału wejściowego U_{wej} . Analogicznie wybieramy dla sygnału wyjściowego U_{wyj} na kanale 2 – **Measure** → source **CH2** → **Voltage** → **Vrms**.
- Mierzmy napięcia obu sygnałów dla częstotliwości 50 Hz, 100Hz, dalej co 100 Hz do 700 Hz, 1000Hz i 1500 Hz.

Propozycja zapisu wyników:

Typ obwodu:.....

$R = \dots\dots\dots$, $\Delta R = \dots\dots\dots$ Cewka: np. "lewa"

Częstotliwość [jednostka] $\Delta v = \dots\dots$	Napięcie U_{wej} [jednostka] $\Delta U = \dots\dots$	Napięcie U_{wyj} [jednostka] $\Delta U = \dots\dots$

gdzie Δv i ΔU są niepewnościami pomiarowymi wynikającymi z rozrzutu wyświetlanych wyników.

Obwód RC zasilany napięciem zmiennym sinusoidalnie.

Wyznaczanie przesunięć fazowych:

- Na płytce montażowej łączymy obwód RC. Na oporniku dekadowym ustawiamy opór np. **$R = 500 \Omega$** , a na kondensatorze dekadowym pojemność np. **$C = 1 \mu F$** .
- Po sprawdzeniu obwodu przez asystenta i włączeniu zasilania ustawiamy pomiar częstotliwości v sygnału i automatycznego opóźnienia czasowego sygnałów ΔX .
- Mierzmy przesunięcia fazowe obu sygnałów dla częstotliwości 50, 100, 200, 300, 500, 700, 1000, 1200 i 1500 Hz.

Propozycja zapisu wyników:

Typ obwodu:.....

$R = \dots\dots\dots$, $\Delta R = \dots\dots\dots$ $C = \dots\dots\dots$, $\Delta C = \dots\dots\dots$

Częstotliwość [jednostka] $\Delta v = \dots\dots$	Autom. ΔX [jednostka] $\Delta(\Delta X) = \dots\dots$	Ręcznie ΔX [jednostka] $\Delta(\Delta X) = \dots\dots$

gdzie Δv i $\Delta(\Delta X)$ są niepewnościami pomiarowymi wynikającymi z rozrzutu wyświetlanych wyników.

Własności filtrujące obwodu RC

- Podobnie jak wcześniej dla filtru RL ustawiamy na oscyloskopie funkcję pomiaru napięcia na obu kanałach.
- Na oporniku dekadowym ustawiamy opór np. $R = 300 \Omega$, a na kondensatorze dekadowym pojemność np. $C = 1 \mu F$.
- Mierzymy napięcia skuteczne obu sygnałów dla częstotliwości 50 Hz, 100Hz, 200 Hz, 300 Hz, 500 Hz, 700 Hz, 1000Hz, 1200Hz, i 1500 Hz.

Propozycja zapisu wyników:

Typ obwodu:.....

$R = \dots\dots\dots$, $\Delta R = \dots\dots\dots$ $C = \dots\dots\dots$, $\Delta C = \dots\dots\dots$

Częstotliwość [jednostka] $\Delta v = \dots\dots$	Napięcie U_{wej} [jednostka] $\Delta U = \dots\dots$	Napięcie U_{wyj} [jednostka] $\Delta U = \dots\dots$

gdzie Δv i ΔU są niepewnościami pomiarowymi wynikającymi z rozrzutu wyświetlanych wyników.

Obwód RLC zasilany napięciem zmiennym sinusoidalnie.

- Łączymy obwód RLC. Wybieramy tę samą cewkę, którą badaliśmy w obwodzie RL. Gdy wybieramy cewkę po lewej stronie, to na oporniku dekadowym ustawiamy opór np. $R = 4 k\Omega$, a na kondensatorze dekadowym pojemność $C = 4 \mu F$. Dla prawej cewki na oporniku dekadowym ustawiamy np. opór $R = 5 k\Omega$, a na kondensatorze dekadowym pojemność $C = 0,7 \mu F$.
- Mierzymy opóźnienie czasowe sygnałów ΔX dla lewej cewki co 10 Hz aż do 100 Hz, a dalej co 50 Hz do 250 Hz, albo dla prawej cewki od 10 Hz co 50 Hz do 300 Hz i co 100 Hz do 1000 Hz.
- Wyznaczanie częstotliwości rezonansowej ν obwodu RLC: wciskamy przycisk Main/Delayed i pojawia się menu. Klawiszem TimeBase zmieniamy tryb Y-T na XY, czyli taki, w którym sygnał wejściowy jest podany na okładki odchylenia poziomego oscyloskopu, a sygnał wyjściowy na okładki odchylenia pionowego. Zmieniamy częstotliwość sygnału wejściowego i obserwujemy zmiany krzywej na ekranie. Gdy częstotliwość jest równa częstotliwości rezonansowej obwodu na ekranie obserwujemy odcinek linii prostej.

Propozycja zapisu wyników:

Typ obwodu:..... Cewka: $\omega_{rez} = \dots\dots\dots$

$R = \dots\dots\dots$, $\Delta R = \dots\dots\dots$ $C = \dots\dots\dots$, $\Delta C = \dots\dots\dots$

Częstotliwość [jednostka] $\Delta v = \dots\dots$	Autom. ΔX [jednostka] $\Delta(\Delta X) = \dots\dots$	Ręcznie ΔX [jednostka] $\Delta(\Delta X) = \dots\dots$

gdzie Δv i $\Delta(\Delta X)$ są niepewnościami pomiarowymi wynikającymi z rozrzutu wyświetlanych wyników.

Opracowanie wyników

Obwód RL zasilany napięciem zmiennym sinusoidalnie.

Wyznaczanie przesunięć fazowych:

- Dla każdej różnicy położenia kursorów ΔX obliczamy przesunięcie fazowe prądu względem przyłożonego napięcia według wzoru: $\alpha = 2\pi\nu \cdot \Delta X$ oraz $\text{tg} \alpha$.
- Błąd $\Delta \alpha$ wyznaczamy metodą propagacji niepewności pomiarowych.
- Wyznaczamy błąd $\Delta(\text{tg} \alpha)$ metodą propagacji niepewności pomiarowych.
- Na papierze milimetrowym sporządzamy wykres $\text{tg} \alpha$ w funkcji częstości $\omega = 2\pi\nu$, zaznaczając błędy pomiarowe. Wykres można sporządzić wykorzystując programy komputerowe. Zgodnie ze wzorem (8) będzie to linia prosta ze współczynnikami $A = -L/R$ i $B = 0$
- Metodą najmniejszych kwadratów (regresji liniowej) wyznaczamy współczynnik A prostej najlepiej dopasowanej do punktów pomiarowych. Nanosimy tę prostą na wykres. Wyznaczamy również błąd ΔA .
- Z nachylenia prostej wyznaczamy indukcyjność cewki L i błąd ΔL .

Własności filtrujące obwodu RL

- Na papierze milimetrowym sporządzamy wykres ilorazu zmierzonych napięć $U_{\text{wyj}} / \mathcal{E}_0$ w funkcji częstości $\omega = 2\pi\nu$, zaznaczając błędy pomiarowe. Wykres można sporządzić wykorzystując programy komputerowe.
- Korzystając z wyznaczonej indukcyjności cewki obliczamy wartości $U_{\text{wyj}} / \mathcal{E}_0$ ze wzoru (9):
$$\frac{U_{\text{wyj}}}{\mathcal{E}_0} = \frac{R}{\sqrt{R^2 + \omega^2 L^2}}$$
, dla mierzonych częstości ω i nanosimy na ten sam wykres.

Obwód RC zasilany napięciem zmiennym sinusoidalnie.

Wyznaczanie przesunięć fazowych:

- Dla każdej różnicy położenia kursorów ΔX obliczamy przesunięcie fazowe prądu względem przyłożonego napięcia według wzoru: $\alpha = 2\pi\nu \cdot \Delta X$ oraz $\text{tg} \alpha$.
- Błąd $\Delta \alpha$ wyznaczamy metodą propagacji niepewności pomiarowych.
- Wyznaczamy błąd $\Delta(\text{tg} \alpha)$ metodą propagacji niepewności pomiarowych.

- g) Na papierze milimetrowym sporządzamy wykres $\operatorname{tg} \alpha$ w funkcji odwrotności częstości $1/\omega = 1/2\pi\nu$, zaznaczając błędy pomiarowe. Wykres można sporządzić wykorzystując programy komputerowe. Zgodnie ze wzorem (10) będzie to linia prosta ze współczynnikami $A = -L/R$ i $B = 0$
- d) Metodą najmniejszych kwadratów (regresji liniowej) wyznaczamy współczynnik A ($B = 0$) prostej najlepiej dopasowanej do punktów pomiarowych. Nanosimy tę prostą na wykres. Wyznaczamy również błąd ΔA .
- e) Z nachylenia prostej wyznaczamy pojemność kondensatora i porównujemy ją z nastawioną wartością C . Wyznaczamy błąd ΔC zmierzonej pojemności.

Własności filtrujące obwodu RC

- a) Na papierze milimetrowym sporządzamy wykres ilorazu zmierzonych napięć $U_{\text{wyj}}/\mathcal{E}_0$ w funkcji częstości $\omega = 2\pi\nu$, zaznaczając błędy pomiarowe. Wykres można sporządzić wykorzystując programy komputerowe.
- b) Obliczamy wartości $U_{\text{wyj}}/\mathcal{E}_0$ ze wzoru (11):
$$\frac{U_{\text{wyj}}}{\mathcal{E}_0} = \frac{R}{\sqrt{R^2 + \frac{1}{\omega^2 C^2}}}$$
 dla mierzonych częstości ω i nanosimy na ten sam wykres.

Obwód RLC zasilany napięciem zmiennym sinusoidalnie.

Wyznaczanie przesunięć fazowych:

- a) Dla każdej różnicy położenia kursorów ΔX obliczamy przesunięcie fazowe prądu względem przyłożonego napięcia według wzoru: $\alpha = 2\pi\nu \cdot \Delta X$ oraz $\operatorname{tg} \alpha$.
- b) Błąd $\Delta \alpha$ wyznaczamy metodą propagacji niepewności pomiarowych.
- c) Wyznaczamy błąd $\Delta(\operatorname{tg} \alpha)$ metodą propagacji niepewności pomiarowych.
- d) Na papierze milimetrowym sporządzamy wykres $\operatorname{tg} \varphi$ w funkcji częstości $\omega = 2\pi\nu$, zaznaczając błędy pomiarowe. Wykres można sporządzić wykorzystując programy komputerowe.

- e) Obliczamy wartości $\operatorname{tg} \alpha$ ze wzoru (5)
$$\operatorname{tg} \alpha = \left(\frac{\frac{1}{\omega C} - \omega L}{R} \right)$$
 dla zastosowanych L , C i R nanosimy je na wykres.

Wnioski.

Próbujemy ocenić:

- czy w granicach błędów doświadczalnych zmierzone przebiegi funkcji $\operatorname{tg} \varphi(\omega)$ są zgodne z przebiegami teoretycznymi.
- który z filtrów jest filtrem górnoprzepustowym i wskazać charakterystyczne zakresy częstości (a także częstotliwości).
- który z filtrów jest filtrem dolnoprzepustowym i wskazać charakterystyczne zakresy częstości (a także częstotliwości).